

3.4 整流电路的谐波和功率因数

3.4.1 正弦电路的功率和功率因数

功率瞬时值为：

$$p = p_1 = u_1 i_1 =$$

$$2U_1 I_1 \sin \omega t \sin(\omega t - \phi_1)$$

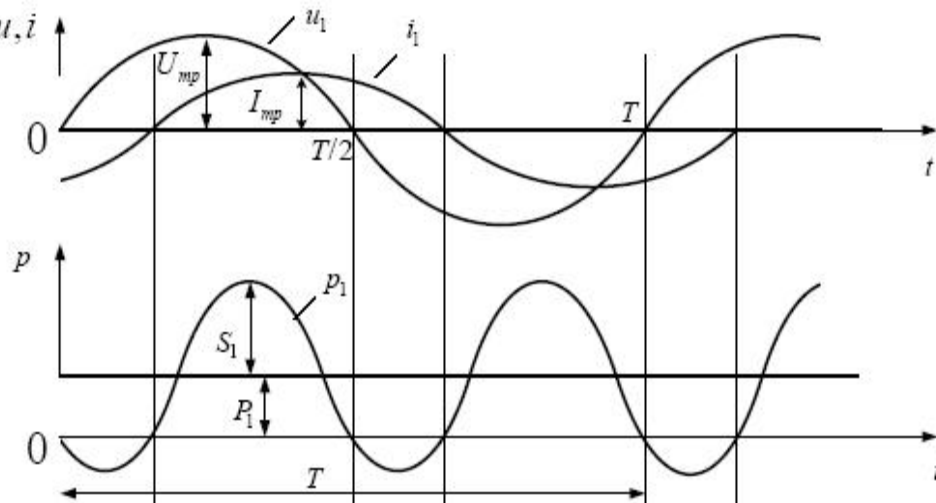
$$= U_1 I_1 [\cos \phi_1 - \cos(2\omega t - \phi_1)]$$

$$= P_1 - S_1 \cos(2\omega t - \phi_1)$$

$$= P_{dc} + P_{ac}$$

P_1 称基波有功功率， S_1 称基波表现功率

$$u = u_1 = \sqrt{2}U_1 \sin \omega t$$
$$i = i_1 = \sqrt{2}I_1 \sin(\omega t - \phi_1)$$



P_{ac} 称瞬时功率的交流分量

$$P_1 = P_{dc} = U_1 I_1 \cos \phi_1$$

$$S_1 = U_1 I_1 = \sqrt{\frac{1}{T} \int_0^T u_1^2 dt} \cdot \sqrt{\frac{1}{T} \int_0^T i_1^2 dt}$$

$$P_{ac} = -S_1 \cos(2\omega t - \phi_1)$$

电路功率的平均值为

$$\begin{aligned} P &= \frac{1}{T} \int_0^T p dt = \frac{1}{T} \int_0^T P_{dc} dt + \frac{1}{T} \int_0^T P_{ac} dt \\ &= U_1 I_1 \cos \phi_1 = P_{dc} = P_1 \end{aligned}$$

第3章交流-直流变换技术

- 瞬时功率的交流分量 P_{ac} 以二倍于电源的频率变化不能产生有效功率。产生有效功率的只有直流分量 P_{dc} ，故 $P_{dc}=P_1$
- 就是说：电路基波有功功率的数值与平均功率相等。电路基波无功功率为

$$Q_1 = S_1 \sin \phi_1 = \sqrt{S_1^2 - P_1^2}$$

- 功率因数 λ ：有功功率 P 与表观功率 S 之比

$$\lambda = \frac{P}{S} = \frac{\frac{1}{T} \int_0^T p dt}{\sqrt{\frac{1}{T} \int_0^T u^2 dt} \cdot \sqrt{\frac{1}{T} \int_0^T i^2 dt}}$$

- 对于正弦电路有 $P=P_1$, $S=S_1$

$$\lambda = P_1 / S_1 = \cos \phi_1$$

- 正弦电路中功率因数 λ 可用位移因数 $\cos \phi_1$ 表示。

第3章交流-直流变换技术

3.4.2 非正弦电路的功率因数和电流谐波

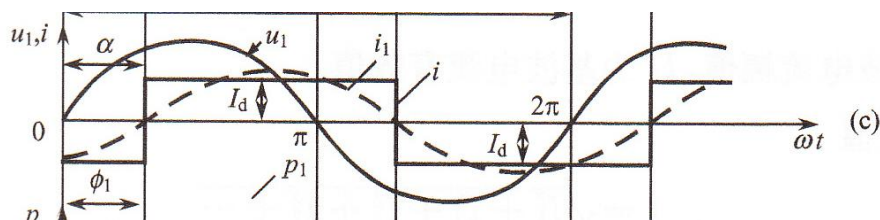
➤ 相控式整流电路 控制角 $\alpha > 0$

$$u = u_1 = \sqrt{2}U_1 \sin \omega t$$

$$i = I_{1m} \sin(\omega t - \phi_1) + \sum_n I_{nm} \sin(\omega t - \phi_n) \Big|_{n=3,5,7,9,11,\dots}$$

基波电流幅值 $I_{1m} = \frac{4}{\pi} I_d = \sqrt{2} I_1$

I_1 为基波电流有效值



电流有效值： $I = \sqrt{I_1^2 + I_3^2 + I_5^2 + I_7^2 + \dots}$

基波瞬时功率： $P_1 = u_1 i_1 =$
 $\sqrt{2}U_1 \sin \omega t \cdot \sqrt{2}I \sin(\omega t - \phi_1)$
 $= P_1 - S_1 \cos(2\omega t - \phi_1)$

表观功率： $S = UI = U_1 I$
 $= U_1 \sqrt{I_1^2 + I_3^2 + I_5^2 + I_7^2 + \dots}$

有功功率： $P = \lambda S$

第3章交流-直流变换技术

功率因数： $\lambda = P / S = P_1 / S = S_1 \cos \phi_1 / S$
 $= I_1 / I \cos \phi_1 = \xi \cos \phi_1$

ξ 为电流波形正弦因数，表征电流对正弦的偏离度：

$$\xi = I_1 / I = \frac{I_1}{\sqrt{I_1^2 + \sum_{n=2}^{\infty} I_n^2}} = \frac{1}{\sqrt{1 + \sum_{n=2}^{\infty} \left(\frac{I_n}{I_1}\right)^2}} = \frac{1}{\sqrt{1 + THD^2}}$$

$$THD = \sqrt{\sum_{n=2}^{\infty} \left(\frac{I_n}{I_1}\right)^2}, \text{ 表示电流总谐波含量}$$

- 结论：网侧功率因数 λ 是基波位移因数 $\cos \phi_1$ 和电流波形正弦因数的 ζ 乘积
- 无功功率： $Q = \sqrt{S^2 - P^2} = S\sqrt{1 - \lambda^2}$
- 功率因数时交流设备的重要技术指标之一

3.4.3 基波相位移 ϕ_1 与控制角 α 间的关系

- 输出电感滤波的单相桥式整流电路
- 基波相位角等于控制角 α , $\phi_1 = \alpha$

可知相控整流：

(1) 深控下（控制角 α 趋于 $\pi/2$ ）的整流电路，功率因数势必很低，这意味着输出有功功率降低的同时，整流电路每相由电网吸取基波无功功率， Q_1 却相应增大。这是相控式整流电路的缺点；

(2) 对有源逆变电路，控制角 α 越小则功率因数也越低，为此，最大控制角 α_m 不能太小。

3.4.4 脉波数m对功率因数 λ 的影响

对 $m=2$ 的单相桥式整流电路，基波电流有效值为

$$I_1 = \frac{I_{1m}}{\sqrt{2}} = \frac{2\sqrt{2}}{\pi} I_d$$

而电流有效值

$$I = \sqrt{\frac{1}{2\pi} \int_0^{2\pi} i^2 d\omega t} = I_d$$

电流波形正弦因数 $\xi = \frac{I_1}{I} = \frac{2\sqrt{2}}{\pi} = 0.9$

➤ 对三相桥式整流电路 ($m=6$)

➤ 电流波形正弦因数为

$$\xi = \frac{I_{A1}}{I_A} = \frac{\sqrt{6}I_d}{\pi} / \sqrt{\frac{2}{3}}I_d = \frac{3}{\pi} = 0.955$$

➤ 结论：随着脉波数 m 值得提高，入端电流电流波形正弦因数 ξ 也接近于1，在 m 值较高的电路可近似为： $\lambda \approx \cos \phi_1$ 。

3.4.5 电流谐波对电网的不良影响

➤ 三相全桥整流电路 入端电流

$$i_A = I_{A1m} \left(\sin \omega t - \frac{1}{5} \sin 5\omega t - \frac{1}{7} \sin 7\omega t + \cdots + \frac{1}{n} \sin n\omega t \right)$$

- 网侧高次谐波电流的存在，使电路产生畸变功率D，增加了电路的无功功率Q。